

(HUANJING KEXUE)

# ENVIRONMENTAL SCIENCE

第35卷 第9期

Vol.35 No.9

2014

中国科学院生态环境研究中心 主办

斜学出版社出版



### ENVIRONMENTAL SCIENCE

第35卷 第9期 2014年9月15日

### 目 次

长江三角洲地区霾判别方法的对比分析	0.)
长江三用加地区建州加力区的州比力州	9)
1980~2012 年江苏省城市霾目的时空分布及成因分析 刘端阳,魏建苏,严文莲,吕车,孙燕( 324'	7)
万里关大气二氧化碳和甲烷时间变化特征	6)
上海地区 DM 由方扣碟和三字碟亦似性红及水源公红 化对化 工方士 封集數 出点换 水泥 即工本 从底壁 226	2)
上海观众 $\Gamma_{M_2}$ ,下午机峽州几条峽文化行业及木塚刀 $\eta$	3)
亚青会期间南京市气溶胶中 OC 和 EC 的粒径分布 ····································	1)
无锡市冬季典型天气 PM. 中碳组分的污染特征 ············ 云龙龙 陆钒 张天舒 伍德侠 感世杰 陆亦怀 刘建国(328)	0)
市的体研工生如晒影物 DM 排放柱件公共	7)
高炉炼铁工艺细颗粒物 PM <sub>2.5</sub> 排放特性分析 范真真,赵亚丽,赵浩宁,梁兴印,孙静雯,王保贵,王亚军(328)	1)
重庆市北碚城区大气中 VOCs 组成特征研究 祁心,郝庆菊,吉东生,张军科,刘子锐,胡波,王跃思,江长胜(329)	3)
双组分 VOCs 的催化氧化及动力学分析	2.)
双组分 VOCs 的催化氧化及动力学分析	<u>-</u> /
八干排放超细域性数体及及性性值付证的关键训先 ————————————————————————————————————	9)
疏勒河上游地表水水化学主离子特征及其控制因素	5)
"加公民以源利斯"利用品类主的发生及爱的数据法担利通告。 医毛症 医纸孔 星郎斑 黄疸利 电吹响 植蛇 用海(222)	£ \
十江河南湖的乃甘江海河口青人居穴间入左乃污氿河丛	<i>(</i> )
人过何恐怕权及共进两何口里並属至间分争及行条件仍	0)
雅鲁臧布江中段表层沉积物重金属形态分布及风险评价 柏建坤,李潮流,康世昌,陈鹏飞,土建力(334	6)
一种加岸区仍快物-小乔面昌介温及气态氮的样放过佳和通量	2)
黄河丰巨河和物山米一吨萬夕复联苯业亚公东 泰业纲 众宪 何既 工黃 正刀架 本明层(225)	0)
奥西农区仍然物下头一幅夹多家软本外下刀印。	0)
合肥城郊典型源头溪流不同渠迫形态的氮鳞滞留特征	5)
基干水资源调度的平原河网区城市河道氮迁移转化研究 ······	
刘波,盛明,朱强,杨霜,檀炳超,范冉,南旭军,何茂阳,王国祥(337)	2 )
对放, 靈明, 木蓝, 彻相, 恒州起, 池村, 南旭丰, 門及阳, 工国什(35/1	3)
杭州湾潮滩湿地植物不同分解过程及其磷素动态 ····································	1)
基于数据同化的太湖叶绿素多模型协同反演 李渊,李云梅,吕恒,朱利,吴传庆,杜成功,王帅(338)	9)
天然日光辐照下两江交汇处溶解性有机质(DOM)光漂白过程:以涪江-嘉陵江为例····································	- /
人然自儿相思下两江文在处谷胜往有机灰(DOM)儿综口过往:以行江-萧陵江为例	
高洁, 江韬, 闫金龙, 魏世强, 王定勇, 卢松, 李璐璐(339)	7)
利用紫外-可见吸收光谱估算三峡库区消落带水体、土壤和沉积物溶解性有机质(DOM)浓度 ····································	
李璐璐,江韬,卢松,闫金龙,高洁,魏世强,王定勇,郭念,赵铮(340)	0 \
子姗姗, 仁阳, 广位, 同金龙, 同伯, 观巴强, 工火为, 孙心, 处时(340)	0)
Cu <sub>2</sub> O-Ag-AgBr/MA 可见光催化剂的制备及其降解 2-氯苯酚的研究 ····································	7)
不同粒径零价铁活化过硫酸钠氧化降解酸性橙 7 的影响及动力学研究 ······	
本办站 下久自 卫邕文 苦明知 工拓 阵杨栀(342)	2)
子从族,从金水,与巨人,实为省,工党,协约何(342.	2)
还原脱氯-生物联合降解 2,4-二氯本氧乙酸  周红艺, 曾忠忠, 梁忠, 韩鉴(3436	0)
多介质土壤滤层系统( MSL) 与潜流式人工湿地技术处理海水养殖废水的效能比较 ····································	
李欢旋,万金泉,马邕文,黄明智,王艳,陈杨梅(342)还原脱氯-生物联合降解2,4-二氯苯氧乙酸 李欢旋,万金泉,马邕文,黄明智,王艳,陈杨梅(342)多介质土壤滤层系统(MSL)与潜流式人工湿地技术处理海水养殖废水的效能比较 安顯 黄玉婷 莫川 改进 阵听 改主创 罗宾程(343)	6)
多介质土壤滤层系统(MSL)与潜流式人工湿地技术处理海水养殖废水的效能比较	6)
多介质土壤滤层系统(MSL)与潜流式人工湿地技术处理海水养殖废水的效能比较 宋颖,黄玉婷,葛川,张浩,陈昕,张志剑,罗安程(3436不同碳源在污水处理过程中的变化规律研究 ····································	6) 3)
多介质土壤滤层系统(MSL)与潜流式人工湿地技术处理海水养殖废水的效能比较 宋颖,黄玉婷,葛川,张浩,陈昕,张志剑,罗安程(3430不同碳源在污水处理过程中的变化规律研究 ************************************	6) 3) 9)
多介质土壤滤层系统(MSL)与潜流式人工湿地技术处理海水养殖废水的效能比较 宋颖,黄玉婷,葛川,张浩,陈昕,张志剑,罗安程(343)不同碳源在污水处理过程中的变化规律研究 金鹏康,常晋,王先宝,刘柯君,王晓昌(344)气升装置对厌氧氨氧化反应器脱氮效能的影响 李祥,张大林,黄勇,陈宗垣,袁怡(344)	6) 3) 9)
多介质土壤滤层系统(MSL)与潜流式人工湿地技术处理海水养殖废水的效能比较 宋颖,黄玉婷,葛川,张浩,陈昕,张志剑,罗安程(3436不同碳源在污水处理过程中的变化规律研究 金鹏康,常晋,王先宝,刘柯君,王晓昌(3445气升装置对厌氧氨氧化反应器脱氮效能的影响 李祥,张大林,黄勇,陈宗姮,袁怡(3446微波及125强化污泥厌氧消化研究 刘吉宝,倪晓棠,魏源送,佟娟,王亚炜(3455年)	6) 3) 9) 5)
不同碳源在污水处理过程中的变化规律研究	6) 3) 9)
不同碳源在污水处理过程中的变化规律研究                                    金鹏康,常晋,王先宝,刘柯君,王晓昌(344) 气升装置对厌氧氨氧化反应器脱氮效能的影响                          李祥,张大林,黄勇,陈宗垣,袁怡(344) 微波及其组合工艺强化污泥厌氧消化研究	6) 3) 9)
不同碳源在污水处理过程中的变化规律研究 金鵬康,常晋,王先宝,刘柯君,王晓昌(344、气升装置对厌氧氨氧化反应器脱氮效能的影响 李祥,张大林,黄勇,陈宗姮,袁怡(344、微波及其组合工艺强化污泥厌氧消化研究 刘吉宝,倪晓棠,魏源送,佟娟,王亚炜(345、"热水解-高温厌氧消化"工艺处理高含固率剩余污泥的中试研究 吴静,王广启,曹知平,李中华,胡玉瑛,王凯军,左剑恶(346、污水处理厂尾水细菌群落结构分析 吴鹏,陆爽君,徐乐中,刘捷,沈耀良(346、污水处理厂尾水细菌群落结构分析 徐爱玲,任杰,宋志文,吴等等,夏岩(347、沼液养殖钝顶螺旋藻的中试研究 国青青,刘锐,罗金飞,王根荣,陈吕军,刘矣(348、内源呼吸过程溶解性代谢产物的光谱特性分析 李志华,由旭丽,张芹,刘毅,贺春博(349、S-异丙甲草胺与镉对斜生栅藻光合作用的影响 陈彩东,胡晓娜,章小强,刘惠君(349、影响浑太河流域鱼类群落结构的不同尺度环境因子分析 李老华,由旭丽,张芹,刘毅,贺春博(352、Fontibacter sp. SgZ-2 厌氧腐殖质/Fe(Ⅲ)还原特性及电子传递机制研究 马文华,张玮,顾琬雯,张瑞雷,王丽卿(351:Fontibacter sp. SgZ-2 厌氧腐殖质/Fe(Ⅲ)还原特性及电子传递机制研究 艾建超,王宁,杨净(353、石河子市土壤环境磁学特征及空间分布研究 杨海,熊黑钢,陈学刚(353、不同施磷量(KH,PO₄)作用对 Cu、Zn 在红壤中的迁移转化 郭亮,李忠武,黄斌,王艳,张艳(354	6) 3) 9) 5) 1) 6) 3) 7) 2) 8) 4) 3) 2) 0) 7)
不同碳源在污水处理过程中的变化规律研究 金鹏康、常晋、王先宝、刘柯君、王晓昌(344: 气升装置对厌氧氨氧化反应器脱氮效能的影响 李祥、张大林、黄勇、陈宗姮、袁怡(344: 微波及其组合工艺强化污泥厌氧消化研究 刘吉宝、倪晓棠、魏源送、佟娟、王亚炜(345: "热水解-高温厌氧消化"工艺处理高含固率剩余污泥的中试研究 吴静、王广启、曹知平、李中华、胡玉瑛、王凯军、左剑恶(346: 活水处理厂尾水细菌群落结构分析 吴鹏、陆爽君,徐乐中、刘捷、沈耀良(346: 污水处理厂尾水细菌群落结构分析 发寒吟、任杰、宋志文、吴等等、夏岩(347: 沼液养殖钝顶螺旋藻的中试研究 国青青、刘锐、罗金飞、王根荣、陈吕军、刘笑(348: 内源呼吸过程溶解性代谢产物的光谱特性分析 李志华,由旭丽、张芹、刘毅、贺春博(349: S-异丙甲草胺与镉对斜生栅藻光合作用的影响 陈彩东、胡晓娜、章小强、刘惠君(349: 影响浑太河流域鱼类群落结构的不同尺度环境因子分析 李志华,自旭丽、张芹、刘毅、贺春博(349: 影响浑太河流域鱼类群落结构的不同尺度环境因子分析 李拖利、李艳粉、徐宗学(350: 河口区新建河道轮虫群落演替及与水环境的关系 马文华、张玮、顾琬雯、张瑞雷、王丽卿(351: Fontibacter sp. SgZ-2 厌氧腐殖质/Fe(Ⅲ)还原特性及电子传递机制研究 马晨、杨贵芹、陆琴、周顺桂(352: 基于 UNMIX 模型的夹皮沟金矿区土壤重金属源析 文建原、无宁、杨澄、熊黑钢、陈学刚(353: 不同施磷量(KH,PO₄)作用对 Cu、Zn 在红壤中的迁移转化 郭亮、李忠武、黄斌、王护、张学(355: 硫蓄对水稻吸收砷的牛物有效性及其在十壤中形态影响 杨世杰、唐冰培、王代长、饶伟、张亚楠、王丹、朱云集(355: 硫蓄对水稻吸收砷的中物有效性及其在十壤中形态影响 杨世杰、唐冰培、王代长、饶伟、张亚楠、王丹、朱云集(355: 硫蓄对水稻吸收砷的中物有效性及其在十壤中形态影响 杨世杰、唐冰培、王代长、饶伟、张亚楠、王丹、朱云集(355: 硫蓄对水稻吸收砷的中物有效性及其在十壤中形态影响	66) 33) 99) 55) 11) 166) 33) 77) 22) 88) 44) 33) 77) 66) 33)
不同碳源在污水处理过程中的变化规律研究 金鹏康、常晋、王先宝、刘柯君、王晓昌(344: 气升装置对厌氧氨氧化反应器脱氮效能的影响 李祥、张大林、黄勇、陈宗姮、袁怡(344: 微波及其组合工艺强化污泥厌氧消化研究 刘吉宝、倪晓棠、魏源送、佟娟、王亚炜(345: "热水解-高温厌氧消化"工艺处理高含固率剩余污泥的中试研究 吴静、王广启、曹知平、李中华、胡玉瑛、王凯军、左剑恶(346: 活水处理厂尾水细菌群落结构分析 吴鹏、陆爽君,徐乐中、刘捷、沈耀良(346: 污水处理厂尾水细菌群落结构分析 发寒吟、任杰、宋志文、吴等等、夏岩(347: 沼液养殖钝顶螺旋藻的中试研究 国青青、刘锐、罗金飞、王根荣、陈吕军、刘笑(348: 内源呼吸过程溶解性代谢产物的光谱特性分析 李志华,由旭丽、张芹、刘毅、贺春博(349: S-异丙甲草胺与镉对斜生栅藻光合作用的影响 陈彩东、胡晓娜、章小强、刘惠君(349: 影响浑太河流域鱼类群落结构的不同尺度环境因子分析 李志华,自旭丽、张芹、刘毅、贺春博(349: 影响浑太河流域鱼类群落结构的不同尺度环境因子分析 李拖利、李艳粉、徐宗学(350: 河口区新建河道轮虫群落演替及与水环境的关系 马文华、张玮、顾琬雯、张瑞雷、王丽卿(351: Fontibacter sp. SgZ-2 厌氧腐殖质/Fe(Ⅲ)还原特性及电子传递机制研究 马晨、杨贵芹、陆琴、周顺桂(352: 基于 UNMIX 模型的夹皮沟金矿区土壤重金属源析 文建原、无宁、杨澄、熊黑钢、陈学刚(353: 不同施磷量(KH,PO₄)作用对 Cu、Zn 在红壤中的迁移转化 郭亮、李忠武、黄斌、王护、张学(355: 硫蓄对水稻吸收砷的牛物有效性及其在十壤中形态影响 杨世杰、唐冰培、王代长、饶伟、张亚楠、王丹、朱云集(355: 硫蓄对水稻吸收砷的中物有效性及其在十壤中形态影响 杨世杰、唐冰培、王代长、饶伟、张亚楠、王丹、朱云集(355: 硫蓄对水稻吸收砷的中物有效性及其在十壤中形态影响 杨世杰、唐冰培、王代长、饶伟、张亚楠、王丹、朱云集(355: 硫蓄对水稻吸收砷的中物有效性及其在十壤中形态影响	66) 33) 99) 55) 11) 166) 33) 77) 22) 88) 44) 33) 77) 66) 33)
不同碳源在污水处理过程中的变化规律研究 金鹏康、常晋、王先宝、刘柯君、王晓昌(344: 气升装置对厌氧氨氧化反应器脱氮效能的影响 李祥、张大林、黄勇、陈宗姮、袁怡(344: 微波及其组合工艺强化污泥厌氧消化研究 刘吉宝、倪晓棠、魏源送、佟娟、王亚炜(345: "热水解-高温厌氧消化"工艺处理高含固率剩余污泥的中试研究 吴静、王广启、曹知平、李中华、胡玉瑛、王凯军、左剑恶(346: 活水处理厂尾水细菌群落结构分析 吴鹏、陆爽君,徐乐中、刘捷、沈耀良(346: 污水处理厂尾水细菌群落结构分析 发寒吟、任杰、宋志文、吴等等、夏岩(347: 沼液养殖钝顶螺旋藻的中试研究 国青青、刘锐、罗金飞、王根荣、陈吕军、刘笑(348: 内源呼吸过程溶解性代谢产物的光谱特性分析 李志华,由旭丽、张芹、刘毅、贺春博(349: S-异丙甲草胺与镉对斜生栅藻光合作用的影响 陈彩东、胡晓娜、章小强、刘惠君(349: 影响浑太河流域鱼类群落结构的不同尺度环境因子分析 李志华,自旭丽、张芹、刘毅、贺春博(349: 影响浑太河流域鱼类群落结构的不同尺度环境因子分析 李拖利、李艳粉、徐宗学(350: 河口区新建河道轮虫群落演替及与水环境的关系 马文华、张玮、顾琬雯、张瑞雷、王丽卿(351: Fontibacter sp. SgZ-2 厌氧腐殖质/Fe(Ⅲ)还原特性及电子传递机制研究 马晨、杨贵芹、陆琴、周顺桂(352: 基于 UNMIX 模型的夹皮沟金矿区土壤重金属源析 文建原、无宁、杨澄、熊黑钢、陈学刚(353: 不同施磷量(KH,PO₄)作用对 Cu、Zn 在红壤中的迁移转化 郭亮、李忠武、黄斌、王护、张学(355: 硫蓄对水稻吸收砷的牛物有效性及其在十壤中形态影响 杨世杰、唐冰培、王代长、饶伟、张亚楠、王丹、朱云集(355: 硫蓄对水稻吸收砷的中物有效性及其在十壤中形态影响 杨世杰、唐冰培、王代长、饶伟、张亚楠、王丹、朱云集(355: 硫蓄对水稻吸收砷的中物有效性及其在十壤中形态影响 杨世杰、唐冰培、王代长、饶伟、张亚楠、王丹、朱云集(355: 硫蓄对水稻吸收砷的中物有效性及其在十壤中形态影响	66) 33) 99) 55) 11) 166) 33) 77) 22) 88) 44) 33) 77) 66) 33)
不同碳源在污水处理过程中的变化规律研究 金廳康,常晋,王先宝,刘柯君,王晓昌(344: (1) 我置对厌氧氨氧化反应器脱氮效能的影响 李祥,张大林,黄勇,陈宗贞,袁恰(344: (1) "热水解-高温厌氧消化"工艺处理高含固率剩余污泥的中试研究 ————————————————————————————————————	66) 33) 99) 55) 11) 66) 33) 60) 77) 22) 88) 44) 23) 44) 42)
不同碳源在污水处理过程中的变化规律研究 金廳康,常晋,王先宝,刘柯君,王晓昌(344: (1) 我置对厌氧氨氧化反应器脱氮效能的影响 李祥,张大林,黄勇,陈宗贞,袁恰(344: (1) "热水解-高温厌氧消化"工艺处理高含固率剩余污泥的中试研究 ————————————————————————————————————	66) 33) 99) 55) 11) 66) 33) 60) 77) 22) 88) 44) 23) 44) 42)
不同碳源在污水处理过程中的变化规律研究 金廳康,常晋,王先宝,刘柯君,王晓昌(344: (1) 我置对厌氧氨氧化反应器脱氮效能的影响 李祥,张大林,黄勇,陈宗贞,袁恰(344: (1) "热水解-高温厌氧消化"工艺处理高含固率剩余污泥的中试研究 ————————————————————————————————————	66) 33) 99) 55) 11) 66) 33) 60) 77) 22) 88) 44) 23) 44) 42)
不同碳源在污水处理过程中的变化规律研究 金廳康,常晋,王先宝,刘柯君,王晓昌(344: (1) 我置对厌氧氨氧化反应器脱氮效能的影响 李祥,张大林,黄勇,陈宗贞,袁恰(344: (1) "热水解-高温厌氧消化"工艺处理高含固率剩余污泥的中试研究 ————————————————————————————————————	66) 33) 99) 55) 11) 66) 33) 60) 77) 22) 88) 44) 23) 44) 42)
不同碳源在污水处理过程中的变化规律研究 金廳康,常晋,王先宝,刘柯君,王晓昌(344: (1) 我置对厌氧氨氧化反应器脱氮效能的影响 李祥,张大林,黄勇,陈宗贞,袁恰(344: (1) "热水解-高温厌氧消化"工艺处理高含固率剩余污泥的中试研究 ————————————————————————————————————	66) 33) 99) 55) 11) 66) 33) 60) 77) 22) 88) 44) 23) 44) 42)
不同碳源在污水处理过程中的变化规律研究 金廳康,常晋,王先宝,刘柯君,王晓昌(344: (1) 我置对厌氧氨氧化反应器脱氮效能的影响 李祥,张大林,黄勇,陈宗贞,袁恰(344: (1) "热水解-高温厌氧消化"工艺处理高含固率剩余污泥的中试研究 ————————————————————————————————————	66) 33) 99) 55) 11) 66) 33) 60) 77) 22) 88) 44) 23) 44) 42)
不同碳源在污水处理过程中的变化规律研究 金廳康,常晋,王先宝,刘柯君,王晓昌(344: (1) 我置对厌氧氨氧化反应器脱氮效能的影响 李祥,张大林,黄勇,陈宗贞,袁恰(344: (1) "热水解-高温厌氧消化"工艺处理高含固率剩余污泥的中试研究 ————————————————————————————————————	66) 33) 99) 55) 11) 66) 33) 60) 77) 22) 88) 44) 23) 44) 42)
不同碳源在污水处理过程中的变化规律研究 金廳康,常晋,王先宝,刘柯君,王晓昌(344: (1) 我置对厌氧氨氧化反应器脱氮效能的影响 李祥,张大林,黄勇,陈宗贞,袁恰(344: (1) "热水解-高温厌氧消化"工艺处理高含固率剩余污泥的中试研究 ————————————————————————————————————	66) 33) 99) 55) 11) 66) 33) 60) 77) 22) 88) 44) 23) 44) 42)
不同碳源在污水处理过程中的变化规律研究 金廳康,常晋,王先宝,刘柯君,王晓昌(344: (1) 我置对厌氧氨氧化反应器脱氮效能的影响 李祥,张大林,黄勇,陈宗贞,袁恰(344: (1) "热水解-高温厌氧消化"工艺处理高含固率剩余污泥的中试研究 ————————————————————————————————————	66) 33) 99) 55) 11) 66) 33) 60) 77) 22) 88) 44) 23) 44) 42)
不同碳源在污水处理过程中的变化规律研究 金廳康,常晋,王先宝,刘柯君,王晓昌(344: (1) 我置对厌氧氨氧化反应器脱氮效能的影响 李祥,张大林,黄勇,陈宗贞,袁恰(344: (1) "热水解-高温厌氧消化"工艺处理高含固率剩余污泥的中试研究 ————————————————————————————————————	66) 33) 99) 55) 11) 66) 33) 60) 77) 22) 88) 44) 23) 44) 42)
不同碳源在污水处理过程中的变化规律研究 金廳康,常晋,王先宝,刘柯君,王晓昌(344: (1) 我置对厌氧氨氧化反应器脱氮效能的影响 李祥,张大林,黄勇,陈宗贞,袁恰(344: (1) "热水解-高温厌氧消化"工艺处理高含固率剩余污泥的中试研究 ————————————————————————————————————	66) 33) 99) 55) 11) 66) 33) 60) 77) 22) 88) 44) 23) 44) 42)
不同碳源在污水处理过程中的变化规律研究 金廳康,常晋,王先宝,刘柯君,王晓昌(344: (1) 我置对厌氧氨氧化反应器脱氮效能的影响 李祥,张大林,黄勇,陈宗贞,袁恰(344: (1) "热水解-高温厌氧消化"工艺处理高含固率剩余污泥的中试研究 ————————————————————————————————————	66) 33) 99) 55) 11) 66) 33) 60) 77) 22) 88) 44) 23) 44) 42)
不同碳源在污水处理过程中的变化规律研究 金廳康,常晋,王先宝,刘柯君,王晓昌(344: (1) 我置对厌氧氨氧化反应器脱氮效能的影响 李祥,张大林,黄勇,陈宗贞,袁恰(344: (1) "热水解-高温厌氧消化"工艺处理高含固率剩余污泥的中试研究 ————————————————————————————————————	66) 33) 99) 55) 11) 66) 33) 60) 77) 22) 88) 44) 23) 44) 42)
不同碳源在污水处理过程中的变化规律研究 金廳康,常晋,王先宝,刘柯君,王晓昌(344: (1) 我置对厌氧氨氧化反应器脱氮效能的影响 李祥,张大林,黄勇,陈宗贞,袁恰(344: (1) "热水解-高温厌氧消化"工艺处理高含固率剩余污泥的中试研究 ————————————————————————————————————	66) 33) 99) 55) 11) 66) 33) 60) 77) 22) 88) 44) 23) 44) 42)
不同碳源在污水处理过程中的变化规律研究 金 廳康,常晋,王先宝,刘柯君,王晓昌(344、	66) 33) 99) 55) 11) 66) 33) 60) 77) 22) 88) 44) 23) 44) 42)

# 高炉炼铁工艺细颗粒物 PM2.5 排放特性分析

范真真1,赵亚丽1,赵浩宁1,2,梁兴印1\*,孙静雯1,王保贵1,王亚军1

(1. 北京盛邦天业科技有限公司,北京 100012; 2. 天津市联合环保工程设计有限公司,天津 300191)

摘要:采用静电低压撞击器(electrical low pressure impactor, ELPI) 对高炉出铁场、矿槽除尘后细微颗粒物( $PM_{2.5}$ )的粒径及质量浓度分布进行在线分析. 结果表明,出铁场除尘后  $PM_{2.5}$ 粒数浓度在  $10^5 \sim 10^6$  cm  $^{-3}$ 数量级范围内,主要为粒径小于 0.1  $\mu$ m 的颗粒物,而矿槽除尘后  $PM_{2.5}$ 粒数浓度在  $10^4 \sim 10^5$  cm  $^{-3}$ 数量级范围内,主要为粒径 1.0  $\mu$ m 以下的颗粒物,质量浓度呈单峰分布; $PM_{2.5}$ 化学组成分析表明水溶性离子  $SO_4^{2-}$  、 $K^+$  、 $Ca^{2+}$ 含量较高,分别为  $10.32\% \sim 28.55\%$  、 $10.36\% \sim 12.15\%$  、 $3.97\% \sim 15.4\%$ ;主量元素主要为 Fe、Si、Al,含量分别为  $16.8\% \sim 31.62\%$  、 $2.24\% \sim 8.76\%$  、 $1.24\% \sim 5.89\%$ ;含碳组分 OC 和 EC 在  $PM_{2.5}$ 中的含量也较为丰富,分别为  $2.7\% \sim 4.6\%$  和  $0.8\% \sim 1.3\%$ .  $PM_{2.5}$ 单体颗粒形态主要为球状颗粒和不规则颗粒.高炉出铁场、矿槽除尘后  $PM_2$ ,的排放因子分别为  $0.045 \sim 0.085$  kg·t $^{-1}$ 、 $0.042 \sim 0.071$  kg·t $^{-1}$ .

关键词:高炉炼铁;细颗粒物(PM,5);粒径分布;化学组分;颗粒形貌

中图分类号: X513 文献标识码: A 文章编号: 0250-3301(2014)09-3287-06 DOI: 10.13227/j. hjkx. 2014. 09. 007

### Emission Characteristics of PM<sub>2.5</sub> from Blast Furnace Iron Making

FAN Zhen-zhen<sup>1</sup>, ZHAO Ya-li<sup>1</sup>, ZHAO Hao-ning<sup>1,2</sup>, LIANG Xing-yin<sup>1</sup>, SUN Jing-wen<sup>1</sup>, WANG Bao-gui<sup>1</sup>, WANG Ya-jun<sup>1</sup>

(1. Beijing Shengbang Tianye Technology Limited Company, Beijing 100012, China; 2. Tianjin United Environmental Engineering Desing Co., Ltd., Tianjin 300191, China)

**Abstract**: Electrical low pressure impactor (ELPI) was used to online analyze the  $PM_{2.5}$  particle size and mass concentration distribution in the trapping field and ore tank of blast furnace iron-making plant. Results showed that the grain number concentration of  $PM_{2.5}$  in trapping field after dust removal was in the range of  $10^5$ - $10^6$  cm<sup>-3</sup>, and the particle size was mainly below 0.1  $\mu$ m. While the grain number concentration of the  $PM_{2.5}$  in ore tank after dust removal was in the range of  $10^4$ - $10^5$  cm<sup>-3</sup>, the particle size was mainly below 1.0  $\mu$ m, and the mass concentration distribution showed a single peak. The micro-morphology of  $PM_{2.5}$  monomer was mainly divided into two categories, spherical particles and irregular aggregates. Chemical composition analysis indicated that the concentrations of water soluble  $SO_4^{2-}$ ,  $K^+$ ,  $Ca^{2+}$  were higher than other ions in  $PM_{2.5}$ , with the percentage of 10. 32%-28. 55%, 10. 36%-12. 15%, 3. 97%-15. 4%, respectively. The major elements was Fe, Si, Al, with 16. 8%-31. 62%, 2. 24%-8. 76%, 1. 24%-5. 89% of total mass, respectively; organic carbon and elementary carbon were 2. 7%-4. 6% and 0. 8%-1. 3%, respectively. The emission factors of  $PM_{2.5}$  in trapping field and in ore tank after dust removal were ranged from 0. 045 to 0. 085 kg·t<sup>-1</sup> and 0. 042 to 0. 071 kg·t<sup>-1</sup>, respectively.

Key words: blast furnace iron making; PM2.5; particle-size distribution; chemical composition; particle morphology

细颗粒物 PM<sub>2.5</sub>也称可入肺颗粒物,是指空气动力学等效直径等于和小于 2.5 μm 的大气颗粒物.大量研究表明 PM<sub>2.5</sub>化学成分复杂,不仅能降低大气可见度,且会对人体健康产生较大危害<sup>[1~5]</sup>. 近年来,细颗粒物污染形势严峻,已引起国内外的广泛重视. 目前,美国、欧盟、英国和中国等已在大气环境质量标准中均对 PM<sub>2.5</sub>进行了明确的要求.

钢铁冶炼行业作为我国大气污染的大户之一,一个年产 100 万 t 钢的企业,仅在炼钢、炼铁、烧结这 3 个工艺过程中,每年产生约 10 万 t 粉尘<sup>[6]</sup>. 颗粒物是钢铁企业废气排放中的重要污染物. 这些颗粒物粒径较小且组成成分较复杂. 目前,国内针对大气环境、燃煤电厂或燃煤锅炉可吸入颗粒 PM<sub>10</sub>和

细颗粒物 PM<sub>2.5</sub>特性研究较多<sup>[7-11]</sup>,而对钢铁冶炼行业 PM<sub>2.5</sub>排放特征的研究工作很少. 高炉炼铁工艺作为钢铁行业关键工艺,其 PM<sub>2.5</sub>贡献率很大,因此本研究通过对高炉炼铁出铁场与矿槽除尘后细颗粒物 PM<sub>2.5</sub>进行现场测试,深入探究其粒径与浓度分布、化学组成、颗粒形貌、排放因子等排放特性,以期为我国钢铁冶炼行业 PM<sub>2.5</sub>的排放控制决策和控制技术的开发提供基础信息.

收稿日期: 2014-02-12; 修订日期: 2014-03-26

基金项目:环境保护公益性行业科研专项(201009006)

作者简介: 范真真(1986~),女,硕士研究生,主要研究方向为水和 大气污染控制技术,E-mail:fanzz0924@163.com

<sup>\*</sup> 通讯联系人, E-mail: xingyinliang@ 126. com

#### 1 材料与方法

#### 1.1 采样点的选择

本研究分别对山东某钢铁公司 2 条1 880 m³ 高炉生产线,唐山 A 钢铁公司2 650 m³ 高炉生产线,唐山 B 钢铁公司550 m³ 高炉生产线进行样品采集和现场测试.采样位置主要是高炉出铁场除尘后、矿槽除尘后,测试设备基本情况见表1.

#### 1.2 分析内容与仪器

本研究分析内容及分析仪器见表 2.

表 1 测试设备基本情况

Table 1	Rasic	information	of test	equipment
rabie i	Dasic	ппоппапоп	or test	equipment

编号	规模/m³	测试工段	废气治理技术
1	1 880	出铁场	布袋除尘
	1.000	出铁场	布袋除尘
2	1 880	矿槽	布袋除尘
2	2.650	出铁场	布袋除尘
3	2 650	矿槽	布袋除尘
4	550	出铁场	布袋除尘

#### 表 2 分析内容与分析仪器

Table 2 Analysis items and analytical instruments

分析内容	分析仪器	仪器制造商
PM <sub>2.5</sub> 的粒径分布	荷电低压颗粒物撞击器(ELPI)	芬兰 Dekati 公司
水溶性离子	Dionex-600 型离子色谱仪	美国 Dionex 公司
痕量元素、主量元素	IRIS Intrepid II XSP 型电感耦合等离子体发射光谱仪(ICP-OES)和 iCAP Qc 型 ICP-MS 2202E 型双道氢化物发生电子荧光光度计(AFS)	Thermo 公司
OC、EC 形貌	Model 2001 型热光碳分析仪 EVO18 型 SEM	沙漠研究所(Desert Research Institute, DRI) 德国 Zeiss

#### 1.3 分析方法

在现场采样过程中,选用石英膜、Tefon 膜、聚氨碳酸酯滤膜,分别进行等速采样. 用 ELPI 对各污染点源细颗粒物  $PM_{2.5}$ 的粒径和浓度分布进行在线监测.

石英膜样品:用于 OC、EC 分析. 将采集的石英滤膜剪成条状碎片,置于 10 mL 干净的试管中;加 5 mL 高纯去离子水使之完全淹没滤膜,超声提取 30 min,提取液用微孔滤膜过滤. 重复上述步骤一次,将两次收集的滤液合并后进行 OC、EC 分析.

Tefon 膜样品:用于痕量元素与主量元素的分析.将采样滤膜剪碎后放入消解罐中,在消解罐中加入6 mL 硝酸、3 mL 盐酸(1:1)和0.5 mL 氢氟酸,摇匀,封闭消解罐;将消解罐放入微波加速反应系统中,连接温控和压控传感器,设置微波消解程序、试验以温控为主,压控为辅.消化完毕后待罐中温度降至室温,取出消解罐,将溶液倒入 Telfon 烧杯,在电热板上低温赶酸,然后转移至10 mL 容量瓶内,用蒸馏水冲洗器皿,稀释至刻度,摇匀后进行痕量元素与主量元素分析.

聚氨碳酸脂滤膜样品:用于颗粒的形貌及水溶性离子组分分析.采用扫描电镜进行颗粒物形貌分析,工作距离采用 6.5 mm 左右,工作电压 15 kV;将采集滤膜剪成条状碎片,置于 10 mL 干净的试管中,加 5 mL 高纯去离子水使之完全淹没滤膜,超声

提取 30 min,提取液用 0.25 μm 微孔滤膜过滤.重复上次步骤一次,将两次收集的滤液合并后进行水溶性离子组合分析. 其中分析阳离子所用的分析柱为 CS17,抑制器为 CSRS;分析阴离子所用的分析柱为 AS11-HC,抑制器为 ASRS.

#### 2 分析与讨论

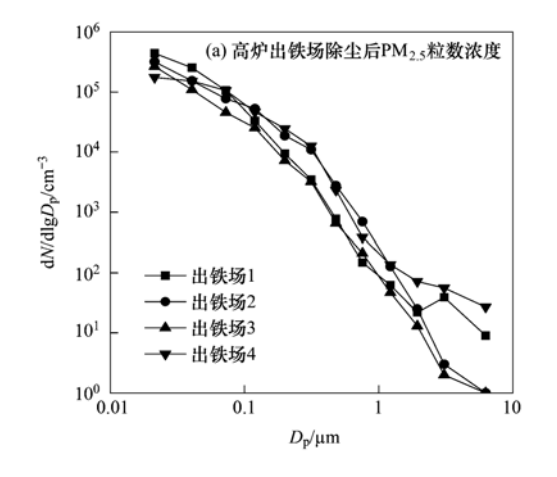
#### 2.1 PM25的粒径与浓度分布

由 ELPI 测得的高炉出铁场及矿槽排放的  $PM_{2.5}$  粒数浓度如图 1 所示. 由图 1(a) 可知,高炉出铁场除尘后  $PM_{2.5}$  粒数浓度随粒径增加呈单调递减分布,对于不同规模的高炉炼铁工艺出铁场除尘后产生的  $PM_{2.5}$  粒数浓度在  $10^5 \sim 10^6$  cm  $^{-3}$  数量级范围内,颗粒物随颗粒增大其粒数浓度不断减小,所排放的  $PM_{2.5}$  粒数浓度主要取决于粒径小于  $0.1~\mu m$  的颗粒. 由此可见,出铁场外排的  $PM_{2.5}$  大多为粒径  $0.1~\mu m$  以下的细颗粒物.

由图 1 (b) 可以看出,高炉矿槽除尘后产生的 PM<sub>2.5</sub>粒数浓度在 10<sup>4</sup> ~ 10<sup>5</sup> cm<sup>-3</sup>数量级范围内,相比于出铁场除尘后 PM<sub>2.5</sub>的粒数浓度取决于粒径小于 0.1 μm 的颗粒外,粒径为 0.1 ~ 1.0 μm 的细颗粒物颗粒浓度也较大,即高炉矿槽除尘后的 PM<sub>2.5</sub>粒数浓度的大小取决于粒径在 1.0 μm 以下的细颗粒物的颗粒浓度.高炉矿槽粉尘主要来自高炉原料转运加料和渣沟等环节,包括原始原料和熟矿原料转运和

投料过程中产生的扬尘. 其中熟料原料中含有大量高温加热后产生的细灰分颗粒. 在原料转运和投料过程中这部分颗粒由于密度低粒径小极易产生扬尘

现象,并被集尘罩的负压气流吸走,从而导致高炉矿槽部分细颗粒比普通的物理性原料转运过程产生的细颗粒比例增大.



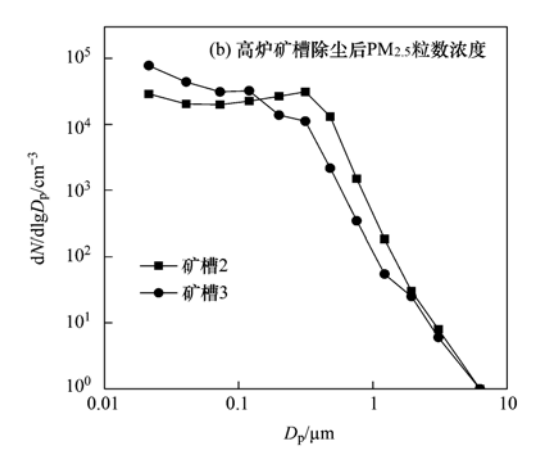


图 1 高炉出铁场及矿槽 PM<sub>2.5</sub>粒径浓度分布

Fig. 1 Particle size distribution of PM2.5 from trapping field and ore tank of blast furnace iron-making plant after dust removal

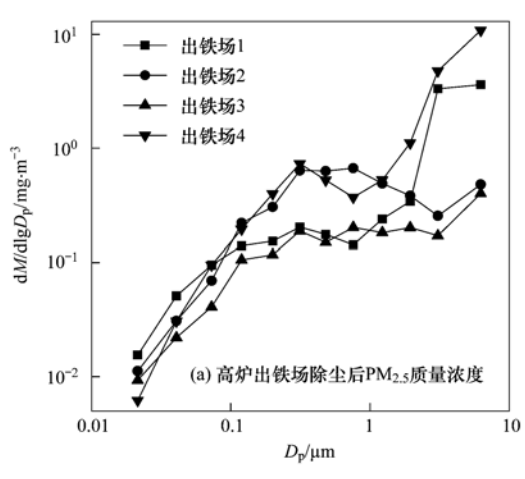
高炉出铁场及矿槽除尘后排放的 PM<sub>2.5</sub>质量浓度如图 2 所示. 高炉出铁场和矿槽除尘后 PM<sub>2.5</sub>质量浓度均呈单峰分布.

由图 2(a) 可看出出铁场 1、出铁场 4 除尘后  $PM_{2.5}$ 质量浓度均在粒径为 0.31  $\mu m$  处出现峰值,但 粒径  $\geq 0.76$   $\mu m$ ,  $PM_{2.5}$ 质量浓度则又呈现明显上升趋势. 而出铁场 2、出铁场 3 粒径浓度均在 0.76  $\mu m$  处出现峰值. 但在粒径  $\geq 3.1$   $\mu m$  时, $PM_{2.5}$ 质量浓度又呈现明显上升趋势. 由图 2(b) 可看出矿槽 2 和矿槽 3 除尘后  $PM_{2.5}$ 质量浓度分别在粒径为 0.48  $\mu m$  和 0.31  $\mu m$  处出现峰值. 这种分布形态与许多燃煤电厂产生颗粒物的质量浓度分布一致 [14-16]. 这可能是因为燃烧过程产生的粗颗粒物由各种碎裂过程直接产生,而细颗粒物主要是通过汽化-凝结机

制形成[17].

#### 2.2 PM<sub>2.5</sub>的化学组成

对高炉出铁场和矿槽除尘后  $PM_{2.5}$  化学组成水溶性离子(阳离子  $NH_4^+$ 、 $K^+$ 、 $Na^+$ 、 $Mg^{2+}$ 、 $Ca^{2+}$ 和阴离子  $F^-$ 、 $Cl^-$ 、 $NO_3^-$ 、 $PO_4^{3-}$ 、 $SO_4^{2-}$ 、 $Br^-$ )、主量元素(Fe、Al、Si、Ca、Na、K 和 Mg)、痕量元素(As、Hg、Se、Pb、Cd、Cr、Cu、Al、V、Zn、Mn、Fe)分别进行分析,其元素组分分布情况如图 3. 从中可以看出,出铁场与矿槽产生的  $PM_{2.5}$ 中水溶性离子浓度高低顺序基本一致  $SO_4^{2-} > K^+ > Ca^{2+} > Cl^- > F^- > Na^+ > Mg^{2+} > NO_3^- > NH_4^+$ . 对于高炉炼铁工艺排放  $PM_{2.5}$ 中9 种水溶性离子含量最高的为 $SO_4^{2-}$ 、 $K^+$ 、 $Ca^{2+}$ ,分别为 10.32% ~ 28.55%、10.36% ~ 12.15%、3.97% ~ 15.4%. 这可能与高



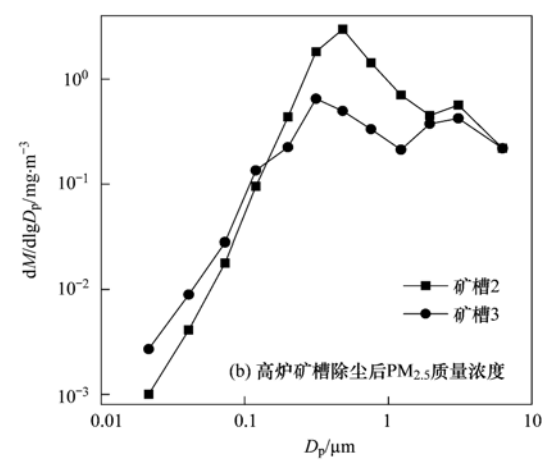


图 2 高炉出铁场与矿槽 PM,5质量浓度分布

Fig. 2 Mass concentration of PM2.5 from trapping field and ore tank of blast furnace iron-making plant after dust removal

炉炼铁所用燃料煤种的含硫量较高所致.  $PM_{2.5}$ 中大多数的  $SO_4^{2-}$ 、 $NO_3^{-}$  是通过  $SO_2$ 、 $NO_x$  气体氧化而形成的,  $SO_4^{2-}$  通常以  $(NH_4)_2SO_4$ 、 $NH_4HSO_4$  和  $H_2SO_4$  的形式存在, 且这些硫酸盐均是水溶性的[18,19].

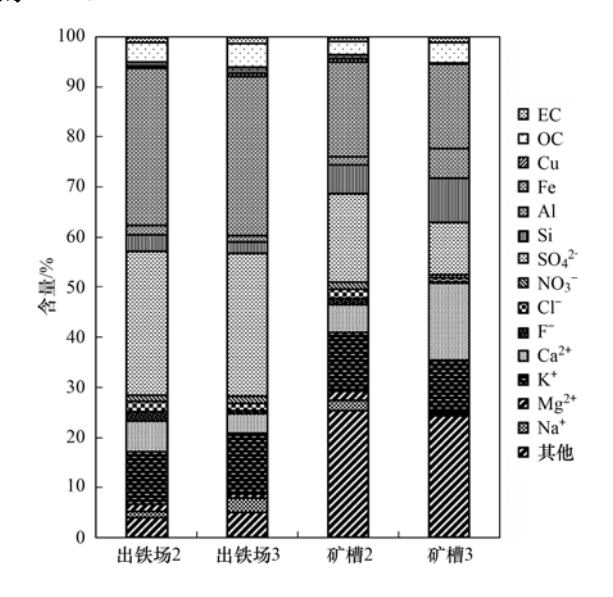


图 3 高炉炼铁工艺各测试点位 PM<sub>2.5</sub>元素分布

Fig. 3 Element distribution of  $PM_{2.5}$  from the test point of blast furnace iron-making

主量元素主要为 Fe、Si、Al,含量分别为 16.8% ~ 31.62% \ 2.24% ~ 8.76% \ 1.24% ~ 5.89%,其他元素含量均在1%以下,6种常见重金 属元素中只有微量 Cr、As、Pb 被检出. 研究表 明[13]细颗粒形成过程受多种生成因素影响,其中气 化-凝结机制对 PM<sub>0.38</sub>形成起决定作用,而工况温度 和元素气化温度是细颗粒物气化-凝结的关键. 高 炉炼铁过程中炉温可以达到1 200~1 400℃,主要成 灰元素的物理性质如表3所示. 从中可知主要成灰 元素 Si、Al、Fe、Ca 的熔点均在 900℃以上,沸点均 在1700℃以上,在高炉炼铁过程中均不能达到其气 化温度. 由高炉出铁场和高炉矿槽 PM,5元素组分分 布情况可知高炉出铁场 PM<sub>2.5</sub>中 Na、K、Mg 等元素均 发生了富集现象,含量明显高于矿槽 PM,。各元素含 量. 而由于这部分元素的气化凝结富集导致 Si、Al、 Ca 等元素组分所占比例明显下降,其中只有 Fe 元素 出现了异常现象,这是因为高炉冶炼过程 Fe 元素高 浓度富集于铁水中,而高炉渣主要成分为 CaO、SiO,、 Al<sub>2</sub>O<sub>3</sub>, 3 种物质占高炉渣成分的 90% 左右,即气化-凝结机制的影响不足以抵消 Fe 的富集效率. 因此综 合以上分析认为工况温度和主量元素熔沸点是影响 高炉出铁场细颗粒生成的主导因素.

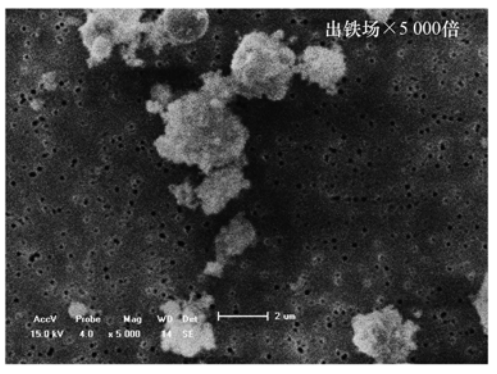
35 卷

表 3 主要成灰元素的物理性质

Table 3 Physical properties of ash-forming elements

元素	Na	K	Si	Al	Ca	Mg	Fe
熔点/K	371	336. 35	1 685	933. 25	1 112	922	1 809
沸点/K	1 156	1 032	3 540	2 740	1 757	1 363	3 135

含碳组分 OC 和 EC 在  $PM_{2.5}$ 中的含量也较为丰富,本研究中测得 OC、EC 含量分别为 2.7% ~ 4.6%和 0.8% ~ 1.3%, OC、EC 的比值在 2.1 ~ 5.8 之间. 这与原煤燃烧排放  $PM_{2.5}$ 的 OC、EC 比值一致<sup>[20,21]</sup>. Chow 等<sup>[22]</sup>认为当 $\rho$ (OC)/ $\rho$ (EC)的比值超过 2 的时候,显示存在二次反应生成的有机碳.



总体上, $PM_{2.5}$ 主要元素成分按含量大小分布较为相似:  $Fe > SO_4^{2-} > K^+ > Ca^{2+} > Si > OC > Al > EC$ .

#### 2.3 PM25单体颗粒形貌分析

出铁场、矿槽各废气排放点 PM<sub>2.5</sub> 单体颗粒呈现的颗粒形貌如图 4 所示. 从高炉各点位排放颗粒物微观形态分析,主要包含球状颗粒、凝聚态颗粒

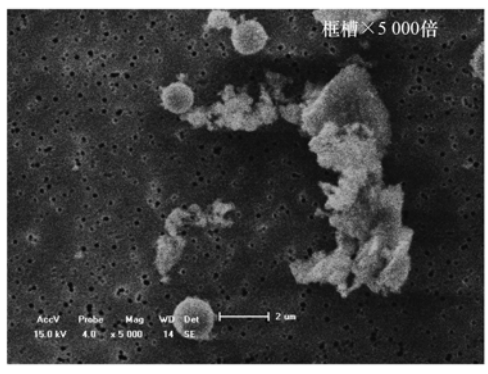


图 4 各排放口 PM<sub>2.5</sub> 单体颗粒微观形态

Fig. 4 Micro-morphology of PM<sub>2.5</sub> monomer from discharge outlets of trapping field and ore tank

状和不规则块状或粉末状等几种颗粒构型. 出铁场 PM,5颗粒形态主要为球形颗粒和不规则颗粒两种, 其中球形颗粒表面较粗糙,由表面吸附超细颗粒聚 合形成,不规则颗粒呈絮状. 矿槽 PM,,颗粒形态分 为球形颗粒和非球形的不规则颗粒,不规则块状或 粉末状颗粒主要为原料破碎和其他机械过程产生. 这与燃油和燃煤电厂排放可吸入颗粒物的物理化学 特性相似[23].

#### 2.4 PM, 5的排放因子

根据实测数据核算 PM,5的排放因子,首先调查 企业一段时间 T 内产品产量 P,该时间段内某生产 工艺各废气排放点的 PM, 排放因子按照公式 EFPM  $=(Q_{N_i} \cdot c_{PM_i} \cdot T)/P$  进行计算. 式中,  $EF_{PM_i}$  为某生产 线第 i 个废气排放点 PM<sub>2.5</sub>排放因子, kg·t<sup>-1</sup>;  $Q_{Ni}$ 为 某生产线第 i 个废气排放点标态干烟气量, $m^3 \cdot h^{-1}$ ;  $c_{PMi}$ 为某生产线第 i 个排放点烟气中  $PM_{2.5}$ 的实测浓 度,mg·m<sup>-3</sup>. 基于现场实测数据,计算出各测试点 PM, 5的排放因子,结果列于表 4. 高炉出铁场 PM, 5 排放因子为 0.045~0.085 kg·t<sup>-1</sup>, 高炉矿槽 PM, 5 排放因子为 0.042~0.071 kg·t<sup>-1</sup>. 本研究所得结果 与相关报道中所涉及的燃煤电厂或锅炉除尘后细颗 粒物 PM,5的排放因子均具有很好的可比性[24,25].

表 4 炼铁高炉 PM<sub>2.5</sub>排放因子

Table 4 Emission factor	r of PM <sub>2.5</sub> from BF iron making	
测试位置	PM <sub>2.5</sub> 质量浓度/mg·m <sup>-3</sup>	PM <sub>2.5</sub> 排放因子/k
出铁场	1. 555 6	0.063
出铁场	3. 444 6	0.054

编号	测试位置	PM <sub>2.5</sub> 质量浓度/mg·m <sup>-3</sup>	PM <sub>2.5</sub> 排放因子/kg·t <sup>-1</sup>
高炉 1	出铁场	1. 555 6	0.063
高炉 2	出铁场	3. 444 6	0. 054
L-1] /y	矿槽	7. 460 3	0. 071
高炉 3	出铁场	1. 217 4	0. 045
IDJ /V	矿槽	2. 455 3	0. 042
高炉 4	出铁场	3. 995 0	0. 085

#### 3 结论

- (1)高炉出铁场除尘后产生的 PM2.5 粒数浓度 在  $10^5 \sim 10^6$  cm<sup>-3</sup>数量级范围内,其中主要为 0.1μm 以下细颗粒物. 高炉矿槽除尘后 PM, 5粒数浓度 在  $10^4 \sim 10^5$  cm<sup>-3</sup>数量级范围内,主要为小于 1.0μm 的细颗粒物. 高炉出铁场、矿槽除尘后的 PM,ς 质量浓度呈单峰分布,出铁场峰值出现粒径为0.31 μm 或 0.76 μm 处, 矿槽除尘后峰值出现在粒径为 0.48 μm 和 0.31 μm 处.
- (2) 高炉出铁场生成细颗粒物的主导因素是工 况温度和主量元素熔沸点.
- (3)高炉炼铁过程 PM25单体颗粒形态主要为 球形颗粒和不规则颗粒.
- (4)根据实测数据核算出高炉出铁场、矿槽除 尘后 PM, 5 排放因子分别分布于 0.045 ~ 0.085 kg·t<sup>-1</sup>,0.042~0.071 kg·t<sup>-1</sup>范围内,可为建立我国 的产排污系数体系,编制排放清单提供参考.

#### 参考文献:

- [1] 朱李华,陶俊,陈忠明,等. 2010年1月北京城区大气消光 系数重建及其贡献因子[J]. 环境科学, 2012, 33(1): 13-
- [2] Kam W, Delfino R J, Schauer J J, et al. A comparative assessment of PM25 exposures in light-rail, subway, freeway, and surface street environments in Los Angeles and estimated lung

- cancer risk[J]. Environmental Science: Processes and Impacts, 2013, **15**(1): 234-243.
- [ 3 ] Brook R D, Rajagopalan S, Pope C A, et al. Particulate matter air pollution and cardiovascular disease; an update to the scientific statement from the American Heart Association [ J ]. Circulation, 2010, 121(21): 2331-2378.
- [4] Gu Z P, Feng J L, Han W L, et al. Diurnal variations of polycyclic aromatic hydrocarbons associated with PM2.5 in Shanghai, China[J]. Journal of Environmental Sciences, 2010, **22**(3): 389-396.
- [ 5 ] Oh S M, Kim H R, Park Y J, et al. Organic extracts of urban air pollution particulate matter (PM2.5)-induced genotoxicity and oxidative stress in human lung bronchial epithelial cells ( BEAS-2B cells) [J]. Mutation Research, 2011, 723(2): 142-151.
- [6] 韩剑宏. 钢铁工业环保技术手册[M]. 北京: 化学工业出版 社, 2006.
- [7] Yu Y, Schleicher N, Norra S, et al. Dynamics and origin of PM<sub>2.5</sub> during a three-year sampling period in Beijing, China[J]. Journal of Environmental Monitoring, 2011, 13(2): 334-346.
- [8] Shen G F, Yuan S Y, Xie Y N, et al. Ambient levels and temporal variations of PM2.5 and PM10 at a residential site in the mega-city, Nanjing, in the western Yangtze River Delta, China [J]. Journal of Environmental Science and Health, 2014, 49 (2): 171-178.
- [9] Zhang Y S, Wang C Y, Wang L, et al. Control Technology of PM2.5 in Coal-Fired Power Plant and Experiment on Dedusting Performance of Typical Filters to PM<sub>2.5</sub> [J]. Advanced Materials Research, 2013, 726: 2135-2139.
- [10] 王铮, 薛建明, 许月阳, 等. 燃煤电厂 PM2.5超细颗粒物排放

- 测试方法研究[J]. 环境工程技术学报, 2013, **3**(2): 133-137.
- [11] 史妍婷, 杜谦, 高建民, 等. 燃煤电厂锅炉 PM<sub>2.5</sub>排放危害度评价模型建立及案例分析[J]. 环境科学, 2014, **35**(2): 470-474.
- [12] 程永高, 侯素霞, 谷群广, 等. 钢铁企业排放的 PM<sub>2.5</sub>等颗粒物中重金属元素分布的实验研究[J]. 材料与冶金学报, 2014, **13**(1): 71-73, 78.
- [13] 马京华. 钢铁企业典型生产工艺颗粒物排放特征研究[D]. 重庆: 西南大学, 2009.
- [14] 梁兴印,张玉凤,赵大琛,等. 黑色金属冶炼行业 PM<sub>2.5</sub> 排放 特性研究[J]. 实验技术与管理, 2013, **30**(9): 43-46.
- [15] 易红宏, 郝吉明, 段雷, 等. 电厂除尘设施对 PM<sub>10</sub> 排放特征 影响研究[J]. 环境科学, 2006, **27**(10): 1921-1927.
- [16] 隋建才,徐明厚,丘纪华,等. 燃煤锅炉 PM<sub>10</sub>形成与排放特性的实验研究[J]. 工程热物理学报, 2006, **27**(2): 335-338.
- [17] 商显薇. 层燃工业锅炉细颗粒物 PM<sub>2.5</sub>排放特性研究[D]. 哈尔滨: 哈尔滨工业大学, 2012.
- [18] 李彩霞, 李彩亭, 曾光明, 等. 长沙市夏季 PM<sub>10</sub>和 PM<sub>2.5</sub>中 水溶性离子的污染特征[J]. 中国环境科学, 2007, **27**(5): 599-603.

- [19] 王明星. 大气化学[M]. 北京: 气象出版社, 1999. 160-177.
- [20] Chen Y J, Sheng G Y, Bi X H, et al. Emission factors for carbonaceous particles and polycyclic aromatic hydrocarbons from residential coal combustion in China[J]. Environmental Science and Technology, 2005, 39(6): 1861-1867.
- [21] Chen Y J, Zhi G R, Feng Y L, et al. Measurements of emission factors for primary carbonaceous particles from residential rawcoal combustion in China [J]. Geophysical Research Letters, 2006, 33(20), doi: 10.1029/2006GL026966.
- [22] Chow J C, Waston J G, Lu Z Q, et al. Descriptive analysis of PM<sub>2.5</sub> and PM<sub>10</sub> at regionally representative locations during SJVAQS/AUSPEX [J]. Atmosphere Environment, 1996, 30 (12): 2079-2112.
- [23] 赵承美,李清飞,孙俊民,等. 燃油和燃煤电厂排放可吸入颗粒物的物理化学特性[J]. 中国环境监测,2011,27(6):
- [24] 王圣,朱法华,王慧敏,等. 基于实测的燃煤电厂细颗粒物排放特性分析与研究[J]. 环境科学学报,2011,31(3):630-635.
- [25] 李超, 李兴华, 段雷, 等. 燃煤工业锅炉可吸入颗粒物的排放特征[J]. 环境科学, 2009, **30**(3): 650-655.

Environmental Science (monthly)

Vol. 35 No. 9 Sep. 15, 2014

### **CONTENTS**

Comparative Analysis Methods of Haze Distinction over Yangtze River Delta Region	\
Trends of Urban Haze in Jiangsu Province China over the Past 33 Years  LIU Atao-nul, ZHU Din, GAO Jin-nul, et al. (3239)  Trends of Urban Haze in Jiangsu Province China over the Past 33 Years  LIU Duan-yang, WEI Jian-su, YAN Wen-lian, et al. (3247)	
Temporal Variation of Background Atmospheric CO <sub>2</sub> and CH <sub>4</sub> at Mount Waliguan, China  LIU Peng, ZHANG Guo-qing, WANG Jian-qiong, et al. (3256)	
Characteristics and Sources of Organic Carbon and Elemental Carbon in PM <sub>2,5</sub> in Shanghai Urban Area  ZHANG Yi-hua, WANG Dong-fang, ZHAO Qian-biao, et al. (3263)	
Size Distribution and Characterization of OC and EC in Atmospheric Aerosols During the Asian Youth Games of Nanjing, China	
Pollution Characteristics of Carbonaceous Aerosols in PM <sub>2,5</sub> During Typical Winter Days in Wuxi City	
Emission Characteristics of PM <sub>2,5</sub> from Blast Furnace Iron Making	
Composition Characteristics of Atmospheric Volatile Organic Compounds in the Urban Area of Beibei District, Chongqing	
Catalytic Oxidation of Two-component VOCs and Kinetic Analysis  BO Long-li, YANG Li, SUN Jian-yu, et al. (3302)	
Ultrafine Particle Number Concentration and Size Distribution of Vehicle Exhaust Ultrafine Particles   LU Ye-qiang, CHEN Qiu-fang, SUN Zai, et al. (3309)	
Major Ion Chemistry of Surface Water in the Upper Reach of Shule River Basin and the Possible Controls	
Sediment-water Flux and Processes of Nutrients and Gaseous Nitrogen Release in a China River Reservoir CHEN Zhu-hong, CHEN Neng-wang, WU Yin-qi, et al. (3325)	
Spatial Distribution and Pollution Assessment of Heavy Metals in the Tidal Reach and Its Adjacent Sea Estuary of Daliaohe Area, China ZHANG Lei, QIN Yan-wen, MA Ying-qun, et al. (3336)	-
Chemical Speciation and Risk Assessment of Heavy Metals in the Middle Part of Yarlung Zangbo Surface Sediments	
Analysis of Particle Size Characteristics of Road Sediments in Beijing Olympic Park  LI Hai-yan, SHI An-bang, QU Yang-sheng, et al. (3352)	
Levels and Distribution of the Dioxin-Like Polychlorinated Biphenyls (PCBs) in the Surface Sediment of the Yellow River LI Guang-yao, JIN Jun, HE Chang, et al. (3358)	)
Characteristics of Nitrogen and Phosphorus Retention in Two Different Channel Forms in a Typical Headwater Stream in the Suburb of Hefei City, China	
LI Ru-zhong, YANG Ji-wei, QIAN Jing, et al. (3365)	)
Migration and Transformation of Nitrogen in Urban Stream Located in Plain River-net Area Based on Water Resources Regulation	
LIU Bo, SHENG Ming, ZHU Qiang, et al. (3373)	
Decomposition and Phosphorus Dynamics of the Litters in Standing and Litterbag of the Hangzhou Bay Coastal Wetland SHAO Xue-xin, LIANG Xin-qiang, WU Ming, et al. (3381)	
Muti-model Collaborative Retrieval of Chlorophyll a in Taihu Lake Based on Data Assimilation	)
Photobleaching of Dissolved Organic Matter (DOM) from Confluence of Two Rivers Under Natural Solar Radiation: A Case Study of Fujiang River-Jialingjiang River	
GAO Jie, JIANG Tao, YAN Jin-long, et al. (3397)	)
Using Ultraviolet-Visible (UV-Vis) Absorption Spectrum to Estimate the Dissolved Organic Matter (DOM) Concentration in Water, Soils and Sediments of Typical Water-Level Fluctuation	
Zones of the Three Gorges Reservoir Areas LI Lu-lu, JIANG Tao, LU Song, et al. (3408)	)
Synthesis of Cu <sub>2</sub> O-Ag-AgBr/MA Visible Photocatalyst and Its Performance in Degradation of 2-Chlorophenol	)
Effects of Particle Size of Zero-Valent Iron on the Reactivity of Activating Persulfate and Kinetics for the Degradation of Acid Orange 7	
LI Huan-xuan, WAN Jin-quan, MA Yong-wen, et al. (3422)	)
Degradation of 2,4-D by Combined Catalytic Dechlorination and Biological Oxidation	
Treatment of Marine-Aquaculture Effluent by the Multi-Soil-Layer (MSL) System and Subsurface Flow Constructed Wetland	
Variation of Different Carbon Sources in the Sewage Treatment Process	
Effect of Gas-lift Device on Nitrogen Removal Efficiency of ANAMMOX Reactor	
Enhancement for Anaerobic Digestion of Sewage Sludge Pretreated by Microwave and Its Combined Processes	
Pilot Study of Thermal Treatment/Thermophilic Anaerobic Digestion Process Treating Waste Activated Sludge of High Solid Content WU Jing, WANG Guang-qi, CAO Zhi-ping, et al. (3461)	
Effects of Temperature on Combined Process of ABR and MBR for Domestic Sewage Treatment and Analysis of Microbial Community WU Peng, LU Shuang-jun, XU Yue-zhong, et al. (3466)	
Microbial Community of Municipal Discharges in A Sewage Treatment Plant  XU Ai-ling, REN Jie, SONG Zhi-wen, et al. (3473)	
Pilot-Scale Cultivation of Spirulina plantensis with Digested Piggery Wastewater	
Spectral Characteristics of Soluble Metabolites During Endogenous Respiration  LI Zhi-hua, ZHANG Qin, BAI Xu-li, et al. (3487)	
Endogenous Respiration Process Analysis of Heterotrophic Biomass and Autotrophic Biomass Based on Respiration Map  LI Zhi-hua, BAI Xu-li, ZHANG Qin, et al. (3492)	
Influence of S-Metolachlor and Cd <sup>2+</sup> on Photosynthesis of Scenedesmus obliquus	
Effect of Environmental Factors on Fish Community Structure in the Huntai River Basin at Multiple Scales	
Succession of Rotifer Community and Its Relationship with Environmental Factors in a New Estuarial Landscape River, Shanghai	
Anaerobic Reduction of Humus/Fe( III ) and Electron Transport Mechanism of Fontibacter sp. SgZ-2	
Source Apportionment of Soil Heavy Metals in Jiapigou Goldmine Based on the UNMIX Model	
Environmental Magnetic Properties and Their Spatial Variability of Topsoil in Shihezi City  YANG Han, XIONG Hei-gang, CHEN Xue-gang (3537)	
Effects of Different Amounts of Phosphate Fertilizers on Copper, Zinc Transfer in Red Soil Under the Application of KH <sub>2</sub> PO <sub>4</sub>	
Influence of Sulfur on the Bioavailability of Arsenic Uptake by Rice (Oryza. sativa L.) and Its Speciation in Soil	
Impact of Reclaimed Water Irrigation on Soil Chemical Properties and Culturable Microorganisms	)
Influence of Different Slope Position and Profile in Disporopsis pernyi Forest Land on Soil Microbial Biomass and Enzyme Activity in Southwest Karst Mountain of China	`
QIN Hua-Jun, HE Bing-Hui, ZHAO Xuan-chi, et al. (3580)	)
Effects of Different Soil Types on the Foliar δ <sup>12</sup> C Values of Common Local Plant Species in Karst Rocky Desertification Area in Central Guizhou Province	`
DU Xue-lian, WANG Shi-jie, LUO Xu-qiang (3587)	
Effect of Carbon Substrate Concentration on N2, N2O, NO, CO2 and CH4 Emissions from a Paddy Soil in Anaerobic Condition	
Ability of Typical Greenery Shrubs of Beijing to Adsorb and Arrest PM <sub>2.5</sub>	
Effects of Chlorides on Cd Transformation in a Simulated Grate Incinerator During Sludge Incineration Process LIU Jing-yong, ZHUO Zhong-xu, SUN Shui-yu, et al. (3612)	)
Spatial Temporal Differentiation of Product-based and Consumption-based CO <sub>2</sub> Emissions and Balance in the Beijing-Tianjin-Hebei Region; an Economic Input-Output Analysis	
WANG Hao, CHEN Cao-cao, PAN Tao, et al. (3619)	
Study on Feasible Emission Control Level of Air Pollutions for Cement Industry	)

## 《环境科学》第6届编辑委员会

主 编:欧阳自远

副主编:赵景柱 郝吉明 田 刚

编 委:(按姓氏笔画排序)

万国江 王华聪 王凯军 王绪绪 田 刚 田 静 史培军

朱永官 刘志培 汤鸿霄 陈吉宁 孟 伟 周宗灿 林金明

欧阳自远 赵景柱 姜 林 郝郑平 郝吉明 聂永丰 黄 霞

黄耀 鲍强潘纲潘涛魏复盛

# 环龙种草

(HUANJING KEXUE)

(月刊 1976年8月创刊) 2014年9月15日 第35卷 第9期

#### ENVIRONMENTAL SCIENCE

(Monthly Started in 1976)
Vol. 35 No. 9 Sep. 15, 2014

		,			
主	管	中国科学院	Superintended	by	Chinese Academy of Sciences
主	办	中国科学院生态环境研究中心	Sponsored	by	Research Center for Eco-Environmental Sciences, Chinese
协	办	(以参加先后为序)			Academy of Sciences
		北京市环境保护科学研究院	Co-Sponsored	by	Beijing Municipal Research Institute of Environmental
		清华大学环境学院			Protection
主	编	欧阳自远			School of Environment, Tsinghua University
编	辑	《环境科学》编辑委员会	Editor-in -Chief	•	OUYANG Zi-yuan
-m	7-4	北京市 2871 信箱(海淀区双清路	Edited	by	The Editorial Board of Environmental Science (HUANJING
		18号,邮政编码:100085)			KEXUE)
		电话:010-62941102,010-62849343			P. O. Box 2871, Beijing 100085, China
		传真:010-62849343			Tel:010-62941102,010-62849343; Fax:010-62849343
		E-mail; hjkx@ rees. ac. cn			E-mail; hjkx@ rcees. ac. cn
		http://www.hjkx.ac.cn			http://www. hjkx. ac. cn
出	版	4 星 虫 版 社	Published	by	Science Press
щ	742	北京东黄城根北街 16 号			16 Donghuangchenggen North Street,
		邮政编码:100717			Beijing 100717, China
印刷装	ŧ订	北京北林印刷厂	Printed	by	Beijing Bei Lin Printing House
发	行	<b>斜望出版社</b>	Distributed	by	Science Press
		电话:010-64017032			Tel:010-64017032
		E-mail: journal@ mail. sciencep. com			E-mail:journal@mail.sciencep.com
订 购	处	全国各地邮电局	Domestic		All Local Post Offices in China
国外总统	发行	中国国际图书贸易总公司	Foreign		China International Book Trading Corporation (Guoji
		(北京 399 信箱)			Shudian), P. O. Box 399, Beijing 100044, China

中国标准刊号: ISSN 0250-3301 CN 11-1895/X

国内邮发代号: 2-821

国内定价:90.00元

国外发行代号: M 205

国内外公开发行